

也如此)15°以上(75°以下)时,其ME存在区明显地小于前者。

以上实验结果令人颇感兴趣的是如下的推论:既然ME存在区域的大小可以度量ME的强度,因此我们可以推论,当适应图对是垂直方位与水平方位时它们所产生的ME最强,而当适应图对倾斜时ME就变弱。Campbell等人(1966)在人的视觉系统对栅条分辨力的研究中证明了,当受试者观看不同方位的黑白栅条目标时,他们的分辨能力是不一样的,对栅条方位是倾斜时的分辨能力要低于栅条方位处于水平、垂直时的分辨能力。他们认为这种差异性是由于视觉神经系统中某些方向的不等性(inequality)所致<sup>[4]</sup>。他们的实验结果与我们的结果有相似之处,它们都表现出如图3所示的在垂直、水平方向的值要高于倾斜方向的值。换句话说:人的视觉系统对垂直、水平栅条的敏感

性高于对倾斜栅条的敏感性。这一敏感性不仅包含对栅条频率的分辨能力,而且也包含栅条图形的 McCollough 颜色后效应的强弱。

如图3所示,当适应图对偏离0°、90°后,随着偏离角度的增加,ME存在区就变小,直到偏离45°时减为最小。但是可以想象,并不是当适应图一旦偏离直立(或横卧)位置后视觉的不等性就明显地表现出来,以致在统计学上具有显著性的差异。因此,我们会提出问题:视觉最敏感的范围究竟有多大?

## 参 考 文 献

- [1] McCollough, C.: *Science N. Y.*, 149, 1115, 1965.
- [2] 齐翔林、赵冠美、汪云九:《生物化学与生物物理进展》,1981年,第3期,第57页。
- [3] Stromeyer, C. F.: *Visual Res.*, 3(12), 717, 1972.
- [4] Campbell, F. W.: *J. Physiol.*, 187, 427, 1966.

【本文于1981年7月31日收到】

# 瞬态荧光、瞬态电色变与磷酸化系统

孙炳荣

(中国科学院上海分院测试计算中心)

王维光 赵贤端

(中国科学院上海植物生理研究所)

在光合作用研究中,广泛应用活体内色素荧光变化,探测色素吸收光能与原初光化学反应及其他化学反应间的关系<sup>[1,2]</sup>,又应用光诱导叶绿体中515nm吸收变化进一步追述原初光化学反应的机制,及其与其他反应的联系<sup>[3]</sup>。通过这些研究,观察到活体内叶绿素荧光严格地受光合作用过程(如光能转化、电子传递、放氧等)控制,而在波长515nm处光诱导吸收变化,同样也受光合作用的光化学过程控制。本文以菠菜叶绿体为材料,通过不同闪光持续时间的单闪激励实验,看到瞬态荧光变化 $\Delta F_0$ 、瞬态P<sub>515</sub>光诱导吸收变化与ATP形成之间有一定的函数关系,同时发现瞬态荧光变化 $\Delta F_0$ 与瞬态P<sub>515</sub>光诱导吸收变化,也有一定关系。

## 材 料 和 方 法

新鲜菠菜叶,在0.4M蔗糖、0.05Tris、0.01M NaCl、pH7.8的缓冲液中研磨后,用四层纱布过滤;滤液经低速离心去渣后,上清液再做高速离心,制得的叶绿体悬浮在缓冲液中;存低温处待用。

瞬态荧光变化 $\Delta F_0$ 以及P<sub>515</sub>光诱导吸收变化测定混合液3ml,其中包含Tris 0.05M(pH7.8),NaCl 0.35M,MgCl 0.05M,Fe(CN)<sub>6</sub> 10μmoles/ml,ADP 10μmoles/ml,pi 10μmoles/ml,chl 20—30μg/ml;在实验过程中不加的试剂,用缓冲液代替。

测定装置见参考文献[4]。在实验中,脉冲

光源由 1300W/120V 溴钨灯和一组快门组成；快门速度为  $\frac{1}{500}, \frac{1}{200}, \frac{1}{100}, \frac{1}{25}, \frac{1}{5}$  s。当测定  $\Delta F_0$  时，脉冲光源为激励光源，不同脉冲持续时间由照相机快门速度控制。激励光中心波长在 430nm（用蓝紫玻璃获得）。荧光检测波长为  $685 \pm 5$  nm，用单色器获得。光检测器为 EMI9558B 光电倍增管。光电倍增管获得的荧光信号经放大后，在 SR-8 双踪示波器上显示记录。当测定  $p_{515}$  光诱导变化时，作用光源的脉冲光源与荧光激励光源相同，其波长  $> 630$  nm（用红玻璃获得）。监测光源与文献[4]相同，其波长为 515nm（由干涉滤光片和单色器获得）。 $p_{515}$  吸收变化信号由 EMI9558B 光电倍增管接收，馈入放大器后显示记录。在实验中，激励光和作用光光能量都大于  $10^5$  尔格/cm<sup>2</sup>，监视光能量不大于 200 尔格/cm<sup>2</sup>。

做上述测定后的样品，分别立即加热杀死，再按文献[5、6]的方法，测定对应闪光持续时间所形成的 ATP 量。实验在室温下进行。

## 结果和讨论

### 1. 磷酸化系统对瞬态荧光的猝灭

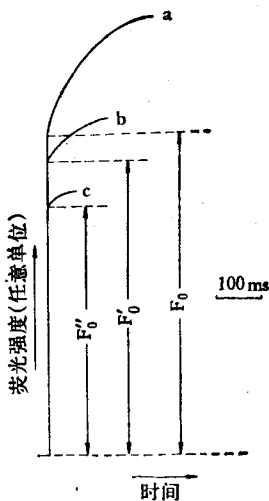


图 1 磷酸化系统对瞬态荧光的猝灭作用

图 1 是用连续光（蓝紫光）激励时，磷酸化对瞬态荧光的猝灭。图中 (a) 是叶绿体悬浮液的荧光诱导曲线，其瞬态荧光值为  $F_0$ ；(b) 是在 (a) 中加入 FeCy 即  $Fe(CN)_6^{4-}$  后的荧光诱导

曲线，其瞬态荧光值为  $F'_0$ ；(c) 是在 (a) 中加入  $FeCy + ADP + pi$  的荧光诱导曲线，其瞬态荧光值为  $F''_0$ ；由图看到  $F_0 > F'_0 > F''_0$ ，即磷酸化系统对瞬态荧光有明显的猝灭作用。

为了进一步证明上述的猝灭作用，我们用  $10^{-3}$  s 量级的脉冲闪光激励反应系统。结果见图 2。图中 (a) 是叶绿体悬浮液用  $2 \times 10^{-3}$  s 脉冲持续时间的闪光激励发射的荧光衰减曲线，其瞬态荧光强度为  $F_0$ 。曲线 (b)、(c) 分别是在 (a) 中加入  $FeCy$ ， $FeCy + ADP + pi$  后的荧光发射衰减曲线。它们的瞬态荧光强度分别为  $F'_0$ ， $F''_0$ 。由图可知  $F_0 > F'_0 > F''_0$ 。这一结果进一步证明，磷酸化系统对瞬态荧光有明显的猝灭作用。

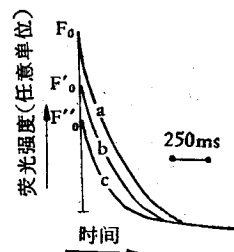


图 2 单闪光下磷酸化对瞬态荧光的猝灭

### 2. 磷酸化与瞬态荧光变化 $\Delta F_0$ 间的关系

用不同的闪光持续时间 ( $10^{-1}$ — $10^{-3}$  s)，测定  $FeCy + ADP + pi$  反应系统对瞬态荧光猝灭（图 3）。可以看到，有  $FeCy$  存在的磷酸化系统，瞬态荧光变化  $\Delta F_0 = F_0 - F''_0$  依赖于 ATP 的

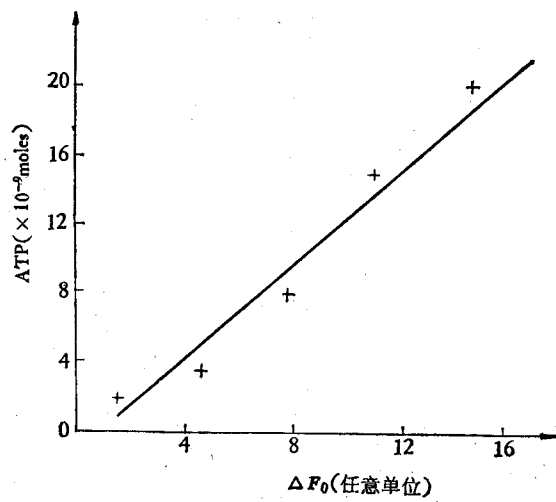


图 3 ATP 形成与  $\Delta F_0$  的关系

形成。它们之间的关系可用下式表示：

$$y_{ATP} = 0.9(x_{\Delta F_0} - 0.8) \quad (1)$$

式中  $y_{ATP}$ 、 $x_{\Delta F_0}$  分别表示 ATP 形成及  $\Delta F_0$  变化。由式(1)可知，在一定的实验条件下，ATP 形成与  $\Delta F_0$  间有严格的定量关系。

### 3. ATP 形成与瞬态 $P_{515}$ 光诱导吸收变化间关系。

用  $10^{-1}$ — $10^{-3}$ s 内不同闪光持续时间诱导  $515nm$  吸收变化与 ATP 形成的实验结果见图 4。ATP 形成与瞬态  $515nm$  变化  $\Delta I/I$  间关系是线性函数，其表达式为：

$$y_{ATP} = x_{\Delta I/I} - 2 \quad (2)$$

式中  $x_{\Delta I/I}$  表示瞬态  $515nm$  吸收变化。

如果将归一化后的  $\Delta I/I$  对归一化后  $\Delta F_0$  作图，则  $\Delta I/I$  与  $\Delta F_0$  之间的关系也是线性的，其表达式为：

$$y_{\Delta I/I} = x_{\Delta F_0} + 0.7 \quad (3)$$

式中  $y_{\Delta I/I}$ 、 $x_{\Delta F_0}$  分别表示归一化后瞬态  $515nm$  吸收变化及瞬态荧光变化。

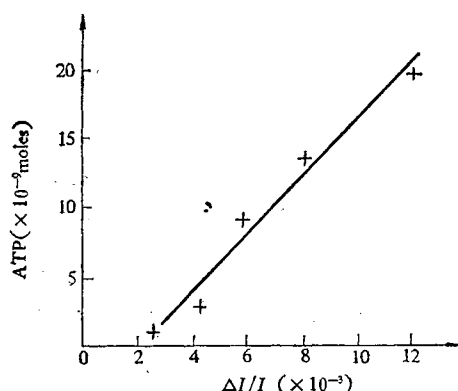


图 4 光诱导 ATP 形成与瞬态  $\Delta I/I$  间关系

综上所述，可以看出  $\Delta I/I$ 、 $\Delta F_0$  都受 ATP 形成控制（在一定实验条件下），而  $\Delta I/I$  与  $\Delta F_0$  间也有一定联系。这些关系很自然地把原初光能转化过程，原初光化学过程与 ATP 的形成联系起来。如果将(1)、(2)、(3)式进行比较，发现它们几乎有相同的斜率，这表明在我们的实验条件下， $\Delta F_0$  与  $\Delta I/I$  及 ATP 的形成有极好的平行关系。它反映了活体内色素吸收光能，然后转化光能直至生成可测的化学反应产物，三者之间有着定量关系。另外，由式(1)、(2)、(3)及图 3、4 可以看出，三种情况都有截距，其中图 3、4 有负截距。这说明，ATP 的形成落后于  $\Delta F_0$  和  $\Delta I/I$  的产生，也即 ATP 的形成需要一定的能量“阈值”，只有超过这一能量阈值后，才能形成 ATP。式(3)有正截距，其值  $< 2 \times 10^{-3}$ （把归一化值还原成  $\Delta I/I$  值）。这意味着，当瞬态荧光变化  $\Delta F_0 = 0$ ，即不存在瞬态荧光猝灭时，也不可能有 ATP 形成，而  $\Delta I/I$  可以存在，但其值应小于  $2.2 \times 10^{-3}$ （见图 4）。这与实验结果完全吻合。

### 参 考 文 献

- [1] Diner, B. et al.: *Biochim. Biophys. Acta*, **423**, 479, 1976.
- [2] Petty, K. M. et al.: *Biochim. Biophys. Acta*, **547** 463, 1979.
- [3] Witt, H. T.: *Quart. Rev. Biophys.*, **4**, 442, 1971.
- [4] 孙炳荣等：《生物化学与生物物理进展》，1981 年，第 2 期，第 65 页。
- [5] 李立人等：《生物化学与生物物理进展》，1980 年，第 6 期，第 124 页。
- [6] 孙炳荣等：《分析化学》，1981 年，第 3 期，第 357 页。

[本文于 1981 年 7 月 5 日收到]

### 学术动态

### 一个分设在五国的研究所

Ludwig 肿瘤研究所是一个国际医学研究机构，成立于 1971 年。它的总部设在瑞士苏黎士，下设八个分部。这八个分部设在权威科学家所在国的医院内。这些国家是英国（萨顿、剑桥）、瑞士（洛桑、伯尔尼）澳大利亚（悉尼、墨尔本）、比利时（布鲁塞尔）、加拿大（多伦多）。这个所每五年订一次全所研究规划，讨论经费问题。这些分部从事研究的主要内容有：人乳腺、肺及生殖细胞癌；免疫学的细胞与激素观；人癌有关淋巴细

胞分化及功能，以及单克隆抗体问题；抗肿瘤药物的研究；骨髓移植及化疗；白血病 hypertransfusion；激素及抗激素作用规律及受体的作用；实体癌的干细胞的生化与分化；单克隆抗体治疗癌、癌变过程细胞表面变化；人癌流行病研究。

[摘自 *Trends in Biochemical Sci.*, 1982, Feb., 7(2), 44—46]